

НЕСТАЦИОНАРНОЕ ДВИЖЕНИЕ ЖИДКОСТИ В ТРУБАХ С ПРОНИЦАЕМЫМИ СТЕНКАМИ

БАБАДЖАНЯН Г. А.

§ 1. Уравнения движения и краевые условия

Рассматривается нестационарное изотермическое одномерное течение несжимаемой вязкой жидкости в трубах (плоской и цилиндрической) с проницаемыми стенками.

Причины, вызывающие нестационарное движение жидкости в трубопроводах, могут быть различными. К ним относятся переменное потребление жидкости, включение и выключение буферных потребителей и компрессорных агрегатов, перекрытие запорных устройств, появление аварийных утечек жидкости из трубопровода и другие.

Дифференциальные уравнения, описывающие вышеуказанное движение, [1]

$$\begin{aligned} -\frac{\partial p}{\partial x} &= \frac{\xi \rho u^2}{4 h} \\ \frac{\partial p}{\partial t} + k \frac{\partial u}{\partial x} + \frac{kx(p-p_a)}{2 h} &= 0 \end{aligned} \quad (1.1)$$

для плоской трубы и

$$\begin{aligned} -\frac{\partial p}{\partial x} &= \frac{\xi \rho u^2}{4 a} \\ \frac{\partial p}{\partial t} + k \frac{\partial u}{\partial x} + \frac{2 kx(p-p_a)}{a} &= 0 \end{aligned} \quad (1.2)$$

для цилиндрической трубы.

Первые уравнения в системах (1.1) и (1.2) устанавливают равенство между перепадом давления вдоль трубы и трением, обусловленным вязкостью.

Вторые — являются уравнениями неразрывности с учетом проницаемости стенок трубы [2].

В системе уравнений (1.1) и (1.2) p и u — соответственно средние по сечению трубы давление и скорость течения, ξ — коэффициент сопро-

* При выводе первого уравнения системы (1.2) не учтен член $\frac{\partial(2u)}{\partial t}$, так как нами рассматриваются «длинные» трубы [2].

тивления трения, $2h$ — ширина плоской трубы, p_* — внешнее давление, k — модуль объемного сжатия, учитывающий упругость и проницаемость стенок трубы, a — радиус цилиндрической трубы, x — направление потока, t — время, α — коэффициент, показывающий степень проницаемости стенок трубы (p_* и α , а следовательно, и k вдоль трубы принимаются постоянными).

Если $p - p_* > 0$, имеет место отсос, в случае $p - p_* < 0$ — вдувание жидкости.

Режим движения жидкости принимается ламинарным, поэтому значение коэффициента сопротивления трения для плоской трубы будет

$$\xi = \frac{24}{Re} = \frac{12v}{uh} \quad (1.3)$$

а для цилиндрической трубы

$$\xi = \frac{64}{Re} = \frac{32v}{ua} \quad (1.4)$$

Здесь Re — число Рейнольдса, v — кинематический коэффициент вязкости жидкости.

Подставляя значение ξ в системы уравнений (1.1) и (1.2), получим

$$\begin{aligned} -\frac{\partial p}{\partial x} &= bu \\ \frac{\partial p}{\partial t} + k \frac{\partial u}{\partial x} + B(p - p_*) &= 0 \end{aligned} \quad (1.5)$$

где $b = \frac{3\mu}{h^2}$, $B = \frac{kx}{2h}$ для плоской трубы и $b = \frac{8\mu}{a^2}$, $B = \frac{2kx}{a}$ для цилиндрической трубы, μ — динамический коэффициент вязкости жидкости.

Исключая из системы уравнений (1.5) переменную $u(x, t)$, относительно $p(x, t)$ получим следующее дифференциальное уравнение:

$$\frac{\partial p}{\partial t} = A \frac{\partial^2 p}{\partial x^2} - B(p - p_*) \quad (1.6)$$

где $A = \frac{kh^2}{3\mu}$, $B = \frac{kx}{2h}$ для плоской трубы и

$$A = \frac{ka^2}{8\mu}, \quad B = \frac{2ka}{a} \quad \text{для цилиндрической трубы.}$$

Если из системы (1.5) исключим переменную $p(x, t)$, то относительно $u(x, t)$ получим такое же уравнение, как для $p(x, t)$, то есть

$$\frac{\partial u}{\partial t} = A \frac{\partial^2 u}{\partial x^2} - Bu \quad (1.7)$$

Дифференциальное уравнение (1.6) решаем при следующих краевых условиях:

$$\begin{aligned} \text{при } x=0 & \quad p=p_u \\ \text{при } x=l & \quad \frac{\partial p}{\partial x}=0 \\ \text{при } t=0 & \quad p=p_0(x) \end{aligned} \quad (1.8)$$

Здесь p_u — давление жидкости в начальном сечении, l — длина трубы, функция $p_0(x)$ показывает закон изменения давления при стационарном режиме движения, то есть является решением уравнения

$$\frac{d^2 p_0}{dx^2} - \frac{B}{A} (p_0 - p_u) = 0 \quad (1.9)$$

при следующих граничных условиях:

$$\begin{aligned} \text{при } x=0 & \quad p_0=p_u \\ \text{при } x=l & \quad p_0=p_k \end{aligned} \quad (1.10)$$

Здесь p_k — давление в конечном сечении при стационарном режиме движения.

Второе граничное условие из (1.8) показывает, что в конце трубы расход жидкости прекращается мгновенно, вследствие чего и возникает нестационарный режим движения.

Решение уравнения (1.9) будет

$$p_0(x) = p_u + \frac{(p_k - p_u) \operatorname{sh} a_1 x + (p_u - p_s) \operatorname{sh} a_1(l-x)}{\operatorname{sh} a_1 l} \quad (1.11)$$

где $a_1 = \sqrt{\frac{B}{A}}$.

§ 2. Решение уравнения (1.6)

Перейдем к решению уравнения (1.6) при краевых условиях (1.8). Решение ищется в виде

$$p(x, t) = p_0(x) + p_1(x, t) \quad (2.1)$$

где $p_0(x)$ является решением уравнения (1.9) и имеет вид (1.11), а $p_1(x, t)$ удовлетворяет уравнению:

$$\frac{\partial p_1}{\partial t} = A \frac{\partial^2 p_1}{\partial x^2} - B p_1 \quad (2.2)$$

Краевые условия для уравнения (2.2) будут

при $x=0 \quad p_1=0$

при $x=l \quad \frac{dp_1}{dx} = -\left. \frac{dp_0}{dx} \right|_{x=l} = -\frac{a_1 [(p_k - p_u) \operatorname{ch} a_1 l - (p_u - p_s)]}{\operatorname{sh} a_1 l} = D$

при $t=0 \quad p_1=0$ (2.3)

Применяя к уравнению (2.2) и в краевым условиям (2.3) преобразования Лапласа [2], получим

$$A \frac{d^2 p_{1L}}{dx^2} - B p_{1L} = s p_{1L} \quad (2.4)$$

при $x = 0 \quad p_{1L} = 0$

$$\text{при } x = l \quad \frac{dp_{1L}}{dx} = \frac{D}{s} \quad (2.5)$$

Здесь $p_{1L} = \int_0^x p_1(x, t) \exp(-st) dt$

Решением уравнения (2.4) будет

$$p_{1L} = c_1 \exp(\gamma x) + c_2 \exp(-\gamma x) \quad (2.6)$$

где

$$\gamma = \sqrt{(s+B)/A}$$

Из граничных условий (2.5) для c_1 и c_2 получим

$$c_1 = -c_2 = \frac{D}{2 \gamma s \cdot \operatorname{ch} \gamma l} \quad (2.7)$$

Тогда для p_{1L} получим

$$p_{1L} = \frac{D \operatorname{sh} \gamma x}{s \gamma \operatorname{ch} \gamma l} \quad (2.8)$$

Для получения оригинала функции $p_{1L}(x, s)$ применим к (2.8) обратное преобразование Лапласа.

Обозначим

$$\Phi(s) = \operatorname{sh} \gamma x / \gamma \quad (2.9)$$

$$\varphi(s) = s \operatorname{ch} \gamma l \quad (2.10)$$

Можно показать, что функции $\Phi(s)$ и $\varphi(s)$ являются обобщенными полиномами относительно s и что все условия теоремы разложения соблюдены.

Теорему разложения можно написать так:

$$p_1(x, t) = L^{-1}[p_{1L}(x, s)] = L^{-1}\left[\frac{D\Phi(s)}{\varphi(s)}\right] = \sum_{n=1}^{\infty} \frac{D\Phi(s_n) \exp(s_n t)}{\varphi'(s_n)} \quad (2.11)$$

где s_n — корни полинома $\varphi(s)$.

Найдем корни функции $\varphi(s) = s \operatorname{ch} \gamma l$.

Получим простой корень $s_0 = 0$ и бесчисленное множество простых корней, определяемых из соотношения

$$i \sqrt{\frac{s_n + B}{A}} l = \frac{(2n-1)\pi}{2} = \mu_n$$

откуда

$$s_n = -B - \frac{A}{l^2} \mu_n^2 = -B - \frac{(2n-1)^2 \pi^2}{4l^2}, \quad n = 1, 2, 3, \dots \quad (2.12)$$

Из выражения (2.12) получим

$$p_1(x, t) = D \left[\frac{\psi(s_0) e^{s_0 t}}{\varphi'(s_0)} + \sum_{n=1}^{\infty} \frac{\psi(s_n) e^{s_n t}}{\varphi'(s_n)} \right] \quad (2.13)$$

Вычисляя значения $\psi(s_0)$, $\varphi'(s_0)$, $\psi(s_n)$, $\varphi'(s_n)$ и подставляя их в выражение (2.13), получим

$$p_1(x, t) = D \left[\frac{\operatorname{sh} \sqrt{\frac{B}{A}} x}{\sqrt{\frac{B}{A}} \operatorname{ch} \sqrt{\frac{B}{A}} l} + \sum_{n=1}^{\infty} \frac{2 A \sin \frac{\mu_n x}{l} \cdot e^{s_n t}}{s_n l \sin \mu_n} \right] \quad (2.14)$$

Общее решение задачи согласно (2.1) будет

$$\begin{aligned} p(x, t) &= p_0(x) + p_1(x, t) = p_0 + \\ &+ \frac{(p_s - p_u) \operatorname{sh} \sqrt{\frac{B}{A}} x + (p_u - p_s) \operatorname{sh} \sqrt{\frac{B}{A}} (l - x)}{\operatorname{sh} \sqrt{\frac{B}{A}} l} + \\ &+ D \left[\frac{\operatorname{sh} \sqrt{\frac{B}{A}} x}{\sqrt{\frac{B}{A}} \operatorname{ch} \sqrt{\frac{B}{A}} l} + \sum_{n=1}^{\infty} \frac{2 (-1)^{n-1} A \cdot \sin \frac{\mu_n x}{l} e^{s_n t}}{s_n l} \right] \end{aligned} \quad (2.15)$$

Подставляя значения постоянных A , B и D в формулу (2.15), для значения давления окончательно получим

$$\begin{aligned} p(x, t) &= p_u + \frac{(p_s - p_u) \operatorname{sh} \sqrt{\frac{3 \mu \alpha}{2 h^3}} x + (p_u - p_s) \operatorname{sh} \sqrt{\frac{3 \mu \alpha}{2 h^3}} (l - x)}{\operatorname{sh} \sqrt{\frac{3 \mu \alpha}{2 h^3}} l} - \\ &- \frac{\sqrt{\frac{3 \mu \alpha}{2 h^3}} [(p_s - p_u) \operatorname{ch} \sqrt{\frac{3 \mu \alpha}{2 h^3}} l + (p_u - p_s)]}{\operatorname{sh} \sqrt{\frac{3 \mu \alpha}{2 h^3}} l} \left[\frac{\operatorname{sh} \sqrt{\frac{3 \mu \alpha}{2 h^3}} x}{\sqrt{\frac{3 \mu \alpha}{2 h^3}} \operatorname{ch} \sqrt{\frac{3 \mu \alpha}{2 h^3}} l} + \right. \\ &\left. + \sum_{n=1}^{\infty} \frac{2 (-1)^{n-1} k h^2 \sin \frac{(2 n - 1) \pi x}{2 l} \exp(s_n t)}{3 \mu s_n l} \right] \end{aligned} \quad (2.16)$$

где

$$s_n = -k \left[\frac{(2 n - 1)^2 \pi^2 h^2}{12 \mu l^2} + \frac{\alpha}{2 h} \right]$$

— для плоской трубы и

$$p(x, t) = p_u + \frac{(p_s - p_u) \operatorname{sh} \sqrt{\frac{16 \mu \alpha}{a^3}} x + (p_u - p_s) \operatorname{sh} \sqrt{\frac{16 \mu \alpha}{a^3}} (l - x)}{\operatorname{sh} \sqrt{\frac{16 \mu \alpha}{a^3}} l} -$$

$$-\frac{\sqrt{\frac{16 \mu z}{a^3}} \left[(p_e - p_s) \operatorname{ch} \sqrt{\frac{16 \mu z}{a^3}} l - (p_u - p_s) \right]}{\operatorname{sh} \sqrt{\frac{16 \mu z}{a^3}} \cdot l} \times \\ \times \left[\frac{\operatorname{sh} \sqrt{\frac{16 \mu z}{a^3}} x}{\sqrt{\frac{16 \mu z}{a^3}} \operatorname{ch} \sqrt{\frac{16 \mu z}{a^3}} l} + \sum_{n=1}^{\infty} \frac{(-1)^{n-1} k a^2 \sin \frac{(2n-1)\pi x}{2l} e^{s_n t}}{4 \mu s_n l} \right] \quad (2.17)$$

где

$$s_n = -k \left[\frac{(2n-1)^2 \pi^2 a^2}{32 \mu l^2} + \frac{2 \alpha}{a} \right]$$

для цилиндрической трубы.

Из первой формулы системы (1.5) получим значение скорости

$$u(x, t) = \sqrt{\frac{\alpha z}{6 \mu}} \frac{1}{\operatorname{sh} \sqrt{\frac{3 \mu z}{2 h^3}} l} \left\{ (p_u - p_s) \operatorname{ch} \sqrt{\frac{3 \mu z}{2 h^3}} (l - x) - \right. \\ \left. - (p_e - p_s) \operatorname{ch} \sqrt{\frac{3 \mu z}{2 h^3}} x + \left[(p_u - p_s) \operatorname{ch} \sqrt{\frac{3 \mu z}{2 h^3}} l - (p_u - p_s) \right] \times \right. \\ \left. \times \left[\frac{\operatorname{ch} \sqrt{\frac{3 \mu z}{2 h^3}} x}{\operatorname{ch} \sqrt{\frac{3 \mu z}{2 h^3}} l} + \sum_{n=1}^{\infty} \frac{2(-1)^{n-1} k \mu_n h^2 \cos \frac{\mu_n x}{l} e^{s_n t}}{3 \mu l^2 s_n} \right] \right\} \quad (2.18)$$

для плоской трубы и

$$u(x, t) = \sqrt{\frac{\alpha z}{4 \mu}} \frac{1}{\operatorname{sh} \sqrt{\frac{16 \mu z}{a^3}} l} \left\{ (p_u - p_s) \operatorname{ch} \sqrt{\frac{16 \mu z}{a^3}} (l - x) - \right. \\ \left. - (p_e - p_s) \operatorname{ch} \sqrt{\frac{16 \mu z}{a^3}} x + \left[(p_u - p_s) \operatorname{ch} \sqrt{\frac{16 \mu z}{a^3}} l - (p_u - p_s) \right] \times \right. \\ \left. \times \left[\frac{\operatorname{ch} \sqrt{\frac{16 \mu z}{a^3}} x}{\operatorname{ch} \sqrt{\frac{16 \mu z}{a^3}} l} + \sum_{n=1}^{\infty} \frac{(-1)^{n-1} k a^2 \mu_n \cos \frac{(2n-1)\pi x}{2l} e^{s_n t}}{4 \mu l^2 s_n} \right] \right\} \quad (2.19)$$

для цилиндрической трубы.

Секундный продольный расход жидкости определяется по формуле

$$G_{np} = 2 u_0 h L_1 \quad (2.20)$$

для плоской трубы и

$$G_{np} = \pi a^2 \rho u \quad (2.21)$$

для цилиндрической трубы.

L_1 в (2.20) есть ширина канала в поперечном направлении. Секундный расход жидкости через стенки (поперечный расход) на единицу длины канала определится по формуле

$$G_{ct} = 2 \alpha (p - p_a) / L_1 \quad (2.22)$$

для плоской трубы и

$$G_{ct} = 2 \pi a \alpha (p - p_s) \quad (2.23)$$

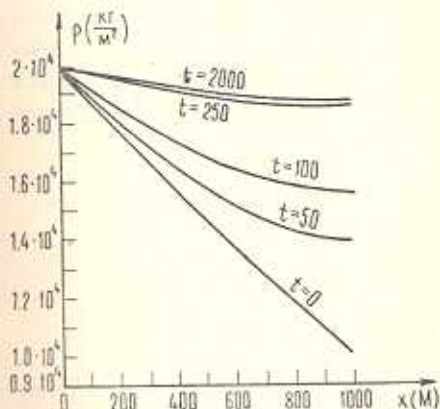
для цилиндрической трубы.

Численный пример. Рассмотрим движение воды в проницаемой цилиндрической трубе при следующих данных:

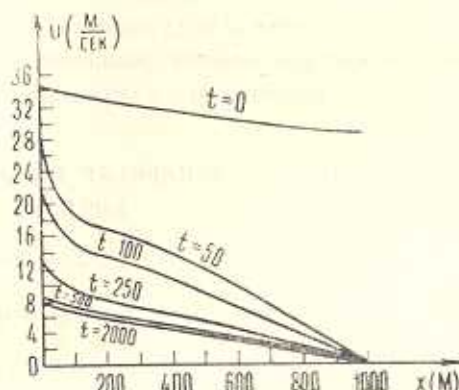
$$p_a = 2 \cdot 10^4 \frac{\text{кг}}{\text{м}^2}, \quad p_s = 0, \quad p_x = 10^4 \frac{\text{кг}}{\text{м}^2}, \quad l = 10^3 \text{ м}, \quad k = 10^3 \frac{\text{кг}}{\text{м}^2},$$

$$a = 5 \cdot 10^{-2} \text{ м}, \quad \alpha = 10^{-8} \frac{\text{м}^3}{\text{сек кг}}, \quad \mu = 10^{-4} \frac{\text{кг сек}}{\text{м}^2}.$$

Законы изменения давления, скорости, продольного и поперечного расхода жидкости, вычисленные по формулам (2.17), (2.19), (2.21) и (2.23), представлены на фиг. 1, 2, 3, 4.



Фиг. 1.



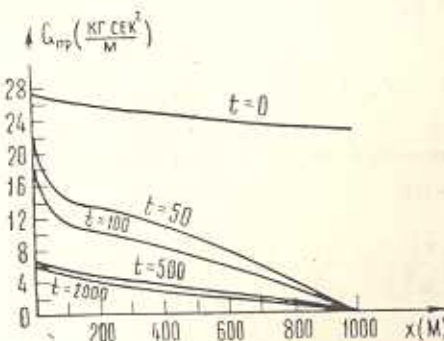
Фиг. 2.

Из фиг. 1 видно, что давление уменьшается вдоль трубы при любом значении времени и увеличивается по времени для любого сечения трубы.

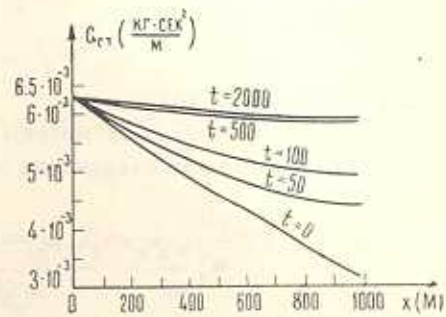
Из фиг. 2 видно, что продольная скорость движения жидкости уменьшается вдоль трубы при любом значении времени. После закрытия задвижки быстрота уменьшения скорости резко увеличивается. Кривые, показывающие законы изменения продольной скорости для моментов времени $t = 0$ и $t = 2000$ сек., параллельны.

Из фиг. 3 видно, что продольный расход жидкости уменьшается вдоль трубы для любого значения времени. После закрытия задвижки быстрота уменьшения расхода резко увеличивается. Кривые, показывающие законы изменения продольного расхода жидкости для моментов времени $t = 0$ и $t = 2000$ сек., параллельны.

На фиг. 4 показан закон изменения поперечного расхода жидкости (расход через стенки). Из него видно, что расход уменьшается вдоль трубы для любого значения времени, но увеличивается по времени для каждого сечения трубы после закрытия задвижки. Из полученных результатов видно, что при выбранных краевых условиях нарушенный заданный стационарный режим движения жидкости через определенный промежуток времени (для данного случая $t = 2000$ сек.) переходит в новый стационарный режим движения с новыми параметрами движения. Проверка показала, что, если в полученных формулах для давления, скорости и расхода при нестационарном движении жидкости время $t \rightarrow \infty$, то результаты совпадают с решениями стационарной задачи при граничных условиях (1.8).



Фиг. 3.



Фиг. 4.

дого сечения трубы после закрытия задвижки. Из полученных результатов видно, что при выбранных краевых условиях нарушенный заданный стационарный режим движения жидкости через определенный промежуток времени (для данного случая $t = 2000$ сек.) переходит в новый стационарный режим движения с новыми параметрами движения. Проверка показала, что, если в полученных формулах для давления, скорости и расхода при нестационарном движении жидкости время $t \rightarrow \infty$, то результаты совпадают с решениями стационарной задачи при граничных условиях (1.8).

**ՀԵՂՈՒԿԻ ՈՉ ՍՏԱՑԻՈՆԱՐ ՇԱՐԺՈՒՄՆԵՐ ԹԱՓԱՆՅՅԻ ՊԱՏԵՐՈՒՎ
ԽՈՂՈՎԱԾԱՆԵՐՈՒՄ**

Գ. Հ. ԲԱԲԱՋԱՆՅԱՆ

Ա մ ֆ ո լ ո ւ մ

Ուսումնասիրվում է իրական անաղմանի հեղուկի ոչ ստացիոնար շարժումը ծակութան պատերով խողովակներում (հարթ և զանային):

Հեղուկի շարժման լամբինար ռեժիմի ընդունելությունը հնարավորություն է տալիս կվաղիղային մասնական ածանցիալներով դիֆերենցիալ հավասարումների համակարգը բերել զատիքն հավասարումների համակարգի: Կիրառելով Լավլասի ձևափոխությունը ստացվում է ինզրի փակ լուծումը: Որոշվում են ձնշման, արագության, երկայնական և ընդլայնական հիբերի փոփոխման օրենքները: Էռուժվում է կոնկրետ թվային օրինակ:

NON-STATIONARY FLOW OF LIQUID IN PERMEABLE WALLED TUBES

G. A. BABAJANIAN

S u m m a r y

Non-stationary isothermal flow of noncompressible viscous liquid in flat and cylindrical permeable tubes is considered. The laws of vari-

ation pressure, rate of longitudinal and transversal discharge of liquid are determined.

ЛИТЕРАТУРА

1. Бабаджанян Г. А. Течение реальной несжимаемой жидкости в трубах с проницаемыми стенками.—Изв. АН Арм. ССР, Механика, 1978, т. 31, № 1.
2. Чарный И. А. Неустановившееся движение реальной жидкости в трубах. М.—Л.: Гостехтеориздат, 1951.
3. Лейбензон Л. С. Собрание трудов, Т. II. М.: Изд. АН СССР, 1953, 107 с.
4. Лаврентьев М. А. и Шабет Б. В. Методы теории функции комплексного переменного. М.: Гостехиздат, 1951.

Ереванский государственный
университет

Поступила в редакцию
16. XI. 1981